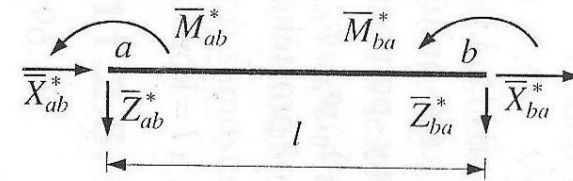


Tabulka 11.2. Primární vektory koncových sil $\bar{\mathbf{R}}_{ab}^* = \{ \bar{X}_{ab}^*, \bar{Z}_{ab}^*, \bar{M}_{ab}^*, \bar{X}_{ba}^*, \bar{Z}_{ba}^*, \bar{M}_{ba}^* \}^T$
prutu konstantního průřezu



(a) Plné spojité zatížení		(c) Osamělá síla	
	$\bar{\mathbf{R}}_{ab}^* = \begin{Bmatrix} -nl/2 \\ -ql/2 \\ ql^2/12 \\ -nl/2 \\ -ql/2 \\ -ql^2/12 \end{Bmatrix}$		$\bar{\mathbf{R}}_{ab}^* = \begin{Bmatrix} -nl/2 \\ -5ql/8 \\ ql^2/8 \\ -nl/2 \\ -3ql/8 \\ 0 \end{Bmatrix}$
	$\bar{\mathbf{R}}_{ab}^* = \begin{Bmatrix} -(2n_1 + n_2)l/6 \\ -(7q_1 + 3q_2)l/20 \\ (3q_1 + 2q_2)l^2/60 \\ -(n_1 + 2n_2)l/6 \\ -(3q_1 + 7q_2)l/20 \\ -(2q_1 + 3q_2)l^2/60 \end{Bmatrix}$		$\bar{\mathbf{R}}_{ab}^* = \begin{Bmatrix} -(2n_1 + n_2)l/6 \\ -(16q_1 + 9q_2)l/40 \\ (8q_1 + 7q_2)l^2/120 \\ -(n_1 + 2n_2)l/6 \\ -(4q_1 + 11q_2)l/40 \\ 0 \end{Bmatrix}$
(b) Plné lichoběžníkové zatížení		(d) Osamělý moment	
	$\bar{\mathbf{R}}_{ab}^* = \begin{Bmatrix} -F''b/l \\ -F'b^2(l+2a)/l^3 \\ F'ab^2/l^2 \\ -F'a/l \\ -F'a^2(l+2b)/l^3 \\ -F'a^2b/l^2 \end{Bmatrix}$		$\bar{\mathbf{R}}_{ab}^* = \begin{Bmatrix} -F''b/l \\ -F'b(3l^2 - b^2)/(2l^3) \\ F'ab(l+b)/(2l^2) \\ -F'a/l \\ -F'a^2(3l-a)/(2l^3) \\ 0 \end{Bmatrix}$
	$\bar{\mathbf{R}}_{ab}^* = \begin{Bmatrix} 0 \\ 6Mab/l^3 \\ -Mb(2l-3b)/l^2 \\ 0 \\ -6Mab/l^3 \\ -Ma(2l-3a)/l^2 \end{Bmatrix}$		$\bar{\mathbf{R}}_{ab}^* = \begin{Bmatrix} 0 \\ 3M(l^2 - b^2)/(2l^3) \\ -M(l^2 - 3b^2)/(2l^2) \\ 0 \\ -3M(l^2 - b^2)/(2l^3) \\ 0 \end{Bmatrix}$

